

# QCD 因子化在湮没衰变 $\overline{B}_{s,d}^0 \rightarrow J/\psi \gamma$ 中的应用\*

鲁公儒 王茹敏<sup>1)</sup> 杨亚东

(河南师范大学物理与信息工程学院 新乡 453007)

**摘要** 在 QCD 因子化框架下,对可能的辐射湮没衰变  $\overline{B}_{s,d}^0 \rightarrow J/\psi \gamma$  进行研究. 在标准模型中,相对于简单因子化下领头阶的分支比,  $\alpha_s$  阶非因子化辐射修正对分支比有显著的量级上的改变,这些衰变可用来检验因子化方法. 在理论上, B 介子稀有辐射衰变对超出标准模型的新物理特别敏感. 作为一个例子,我们考虑右手带电流对标准模型中左手流可能的混合效应,这个混合对衰变分支比有显著的影响.

**关键词** B 衰变 QCD 因子化 分支比 新物理

有粲 B 衰变是研究弱电相互作用和强相互作用动力学非常敏感的领域. 在 B 衰变中,如果理解半举  $J/\psi$  产生过程的大分支比对理论产生了巨大挑战<sup>[1,2]</sup>;一个可能的理论考虑是在色单态模型外对粲产生过程有大的贡献<sup>[3-7]</sup>,通常在非相对论 QCD 有效场论中它们的大分支比能被解释<sup>[8]</sup>,但需要一些参数输入.  $J/\psi$  介子(特别是运动过慢的  $J/\psi$  介子)的动量谱在理论上也很难解释,这些动能谱可能揭示一些令人感兴趣的现象(例如 B 介子可能的内在粲组分<sup>[9]</sup>,  $B \rightarrow J/\psi$  重子反重子<sup>[10]</sup>和  $s\bar{d}g$  混合态产生过程<sup>[11]</sup>). 单举衰变  $B \rightarrow J/\psi K^{(*)}$  在理论上和实验上都已被深入研究,它包含更复杂的强相互作用动力学,最近研究<sup>[12,13]</sup>表明在理论上解释它的大分支比和极化仍是困难的.

本文是在标准模型和超出标准模型下对辐射湮没衰变  $\overline{B}_{s,d}^0 \rightarrow J/\psi \gamma$  进行研究. 它们与衰变  $B \rightarrow J/\psi K^{(*)}$  相比是更稀有的,但它们包含更简单的强子动力学. 用简单因子化方法,与轻子辐射湮没衰变<sup>[14-17]</sup>类似,这些衰变的强子动力学部分可归结为形状因子,研究表明形状因子能用 B 介子分布函数和微扰可算的硬散射核的卷积来简单描述<sup>[15]</sup>. 在简单因子化方法中,非因子化的贡献常被忽略;而

在 QCD 因子化中,非因子化贡献可以可靠地计算. 用简单因子化方法,我们得到分支比分别为  $Br(\overline{B}_s^0 \rightarrow J/\psi \gamma) = 1.395 \times 10^{-6}$  和  $Br(\overline{B}_d^0 \rightarrow J/\psi \gamma) = 5.398 \times 10^{-8}$ . 在 QCD 因子化方法中,因为有效系数  $a_2$  比简单因子化中的小,所以分支比减小到  $Br(\overline{B}_s^0 \rightarrow J/\psi \gamma) = 5.795 \times 10^{-8}$  和  $Br(\overline{B}_d^0 \rightarrow J/\psi \gamma) = 2.435 \times 10^{-9}$ . 这种效应也能在两体非轻衰变<sup>[18-21]</sup>中看到,它们包括一圈图顶角修正后的  $|a_2|$  比简单因子化中的  $a_2 = C_2 + C_1/N_c$  更小. 与两体非轻衰变相比,这些衰变中没有计算困难的旁观者硬散射贡献,仅包括那些可以很好计算的非因子化顶角类型的修正. 在这种程度上讲,衰变  $\overline{B}_{s,d}^0 \rightarrow J/\psi \gamma$  能用来检验因子化方法. 另一方面,这些衰变对探测低能标下可能的新物理是敏感的. 作为一个例子,我们考虑了在衰变  $b \rightarrow c\bar{c}s(d)$  中(V + A)带电流对标准模型中(V - A)流可能的混合效应,这个混合对衰变分支比有显著的影响.

在标准模型下,辐射湮没衰变  $\overline{B}_{s,d}^0 \rightarrow J/\psi \gamma$  相应的有效哈密顿量可写成如下形式<sup>[22]</sup>

$$\mathcal{H}_{\text{eff}} = \frac{G_F}{\sqrt{2}} \{ V_{cb} V_{cq}^* [ C_1(\mu) \mathcal{O}_1^c(\mu) + C_2(\mu) \mathcal{O}_2^c(\mu) ] -$$

2004-07-19 收稿

\* 国家自然科学基金(10305003)和河南省杰出青年基金(0312001700)资助

1) E-mail: ruminwang@163.com

$$V_{tb} V_{tq}^* \sum_{i=3}^{10} C_i(\mu) \mathcal{O}_i(\mu) \}, \quad (1)$$

其中  $q = s, d, C_i (i = 1, \dots, 10)$  是在  $\mu$  标度下的威尔逊系数, 有效算符  $\mathcal{O}_i$  可以被直接表示为<sup>[22]</sup>

$$\begin{aligned} \mathcal{O}_1 &= (\bar{c}_\alpha b_\alpha)_{V-A} \otimes (\bar{q}_\beta c_\beta)_{V-A}, \\ \mathcal{O}_2 &= (\bar{c}_\alpha b_\beta)_{V-A} \otimes (\bar{q}_\beta c_\alpha)_{V-A}, \\ \mathcal{O}_3 &= (\bar{q}_\alpha b_\alpha)_{V-A} \otimes (\bar{c}_\beta c_\beta)_{V-A}, \\ \mathcal{O}_4 &= (\bar{q}_\alpha b_\beta)_{V-A} \otimes (\bar{c}_\beta c_\alpha)_{V-A}, \\ \mathcal{O}_5 &= (\bar{q}_\alpha b_\alpha)_{V-A} \otimes (\bar{c}_\beta c_\beta)_{V+A}, \\ \mathcal{O}_6 &= (\bar{q}_\alpha b_\beta)_{V-A} \otimes (\bar{c}_\beta c_\alpha)_{V+A}, \\ \mathcal{O}_7 &= \frac{3}{2} (\bar{q}_\alpha b_\alpha)_{V-A} \otimes e_c (\bar{c}_\beta c_\beta)_{V+A}, \\ \mathcal{O}_8 &= \frac{3}{2} (\bar{q}_\alpha b_\beta)_{V-A} \otimes e_c (\bar{c}_\beta c_\alpha)_{V+A}, \\ \mathcal{O}_9 &= \frac{3}{2} (\bar{q}_\alpha b_\alpha)_{V-A} \otimes e_c (\bar{c}_\beta c_\beta)_{V-A}, \\ \mathcal{O}_{10} &= \frac{3}{2} (\bar{q}_\alpha b_\beta)_{V-A} \otimes e_c (\bar{c}_\beta c_\alpha)_{V-A}, \end{aligned} \quad (2)$$

这里  $\alpha$  和  $\beta$  是  $SU(3)$  色指标,  $e_c$  是  $c$  夸克所带的电量.

由于  $B$  介子的自旋为零, 而光子  $\gamma$  是横向极化的, 由螺旋度守恒可知, 矢量介子  $J/\psi$  必横向极化. 取  $B$  介子动量为  $P_B^\mu = M_B v^\mu$  和光子沿  $n_- = (1, 0, 0, -1)$  方向运动, 四维矢量  $v = (1, 0, 0, 0)$  满足  $v^2 = 1$ .

在重夸克极限下,  $B$  介子的光锥分布振幅可写为<sup>[19,24]</sup>

$$M_{\alpha\beta}^B = \frac{i}{4N_c} f_B M_B \{ (1 + \lambda_-) \gamma_5 [ \Phi_1^B(\rho) + \lambda_- \Phi_2^B(\rho) ] \}_{\alpha\beta}. \quad (3)$$

$J/\psi$  介子的光锥分布振幅取为

$$M_{\rho\sigma}^{J/\psi} = -\frac{f_{J/\psi}}{4N_c} [ \chi_- (\not{P}_{J/\psi} + M_{J/\psi}) ]_{\rho\sigma} \Phi^{J/\psi}(u), \quad (4)$$

因为  $c$  夸克是重的, 波函数  $\Phi^{J/\psi}(u)$  在  $u \rightarrow 1-u$  下是对称的, 因此  $\Phi^{J/\psi}(u)$  在  $u = 1/2$  附近有一尖峰分布<sup>[11]</sup>. 在重夸克极限下  $\Phi^{J/\psi}(u) \rightarrow \delta(\frac{1}{2} - u)$ .

在简单因子化中忽略了非因子化贡献, 可以得到衰变振幅为

$$A(\bar{B}_q^0 \rightarrow J/\psi \gamma) = \frac{G_F}{\sqrt{2}} [ V_{cb} V_{cq}^* a_2 - V_{tb} V_{tq}^* (a_3 + a_5 + a_7 + a_9) ] \sqrt{4\pi\alpha_e} f_{J/\psi} M_{J/\psi} F_V \times \{ -\epsilon_{\mu\nu\rho\sigma} \eta_-^\mu \epsilon_-^\nu v^\rho q^\sigma + i [ (\epsilon_- \cdot \eta_-) (v \cdot q) - (\eta_- \cdot q) (\epsilon_- \cdot v) ] \}, \quad (5)$$

其中  $a_{2i} = C_{2i} + \frac{1}{N_c} C_{2i-1}, a_{2i-1} = C_{2i-1} + \frac{1}{N_c} C_{2i}; \epsilon_-$

和  $\eta_-$  是光子和  $J/\psi$  介子各自的横向极化矢;  $F_V$  为形状因子, 其表达式为

$$F_V = \frac{Q_q f_B M_B}{2\sqrt{2} E_\gamma \lambda_B}, \quad (6)$$

$$\frac{1}{\lambda_B} = \int_0^\infty dl + \frac{\phi_1^B(l_+)}{l_+}.$$

在  $\alpha_s$  阶的非因子化贡献来自色八重态算符  $\mathcal{O}_1, \mathcal{O}_4, \mathcal{O}_6, \mathcal{O}_8, \mathcal{O}_{10}$  的辐射修正. 相应的费曼图如图 1 所示. QCD 因子化方法允许我们计算在重夸克极限下的非因子化修正. 考虑  $\alpha_s$  阶非因子化辐射修正, 衰变振幅可写为

$$A(\bar{B}_q^0 \rightarrow J/\psi \gamma) = \frac{G_F}{\sqrt{2}} [ V_{cb} V_{cq}^* a'_2 - V_{tb} V_{tq}^* (a'_3 + a'_5 + a'_7 + a'_9) ] \sqrt{4\pi\alpha_e} f_{J/\psi} M_{J/\psi} F_V \times \{ -\epsilon_{\mu\nu\rho\sigma} \eta_-^\mu \epsilon_-^\nu v^\rho q^\sigma + i [ (\epsilon_- \cdot \eta_-) (v \cdot q) - (\eta_- \cdot q) (\epsilon_- \cdot v) ] \}, \quad (7)$$

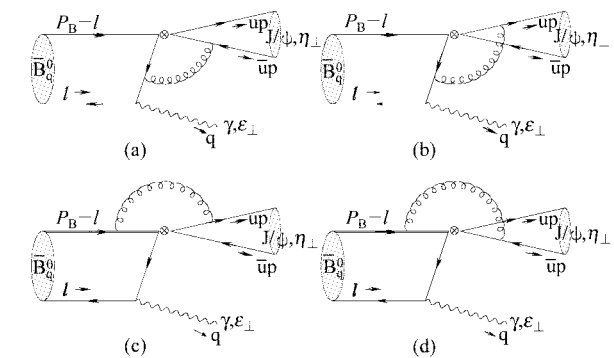


图 1  $\alpha_s$  阶非因子化辐射修正的费曼图

“ $\otimes$ ”表示在衰变  $\bar{B}_q^0 \rightarrow J/\psi \gamma$  中色八重态算符  $\mathcal{O}_1, \mathcal{O}_4, \mathcal{O}_6, \mathcal{O}_8, \mathcal{O}_{10}$  的插入, 从其他夸克线上辐射光子的图因压低而被忽略.

$\alpha_s$  阶辐射修正包含在  $a'_i$  中,  $a'_i$  可通过以下计算得到

$$\begin{aligned} a'_2 &= a_2 + \frac{\alpha_s C_F}{4\pi N_c} C_1 F, & a'_3 &= a_3 + \frac{\alpha_s C_F}{4\pi N_c} C_4 F, \\ a'_5 &= a_5 - \frac{\alpha_s C_F}{4\pi N_c} C_6 F, & a'_7 &= a_7 - \frac{\alpha_s C_F}{4\pi N_c} C_8 F, \\ a'_9 &= a_9 + \frac{\alpha_s C_F}{4\pi N_c} C_{10} F, \end{aligned}$$

其中  $C_F = (N_c^2 - 1)/(2N_c), \alpha_s$  项来自色八重态算符  $\mathcal{O}_1, \mathcal{O}_4, \mathcal{O}_6, \mathcal{O}_8, \mathcal{O}_{10}$  中两个流之间的胶子交换,  $F$  的表达式为

$$F = -16 - 12 \ln \frac{\mu}{M_B} - 18i\pi +$$

$$\int_0^1 du \Phi^{J/\psi}(u) \left\{ \left( \frac{5-6u}{1-u} \right) \ln(u) + \frac{1-z}{1-z+uz} \ln(1-z) + \left( \frac{1}{1-z+uz} - \frac{5}{1-uz} \right) uz \ln(uz) + \left( \frac{2}{1-u} + \frac{10}{1-uz} + \frac{1-z}{1-z+uz} \right) i\pi \right\}. \quad (8)$$

在计算中,运用了 $\overline{MS}$ 重正化方案,忽略了箱图的微小效应,也忽略了在圈图计算中的 $l_+^2$ 小项,因此不含有 $\Phi_2^B(\rho)$ 的项,剩余的项与形状因子 $F_V$ 有关.

通过衰变振幅,可以用下式得到衰变分支比

$$Br(\overline{B}_q^0 \rightarrow J/\psi \gamma) = \frac{\tau_B |P_c|^2}{8\pi M_B^2} |A(\overline{B}_q^0 \rightarrow J/\psi \gamma)|^2, \quad (9)$$

上式中 $P_c$ 是 $J/\psi$ 在 $B$ 介子质心系下的质心动量, $\tau_{B_q}$ 是 $\overline{B}_q^0$ 介子的衰变寿命.

为了进行数据分析,下面写出需要输入的参数<sup>[23]</sup>:

$$M_{B_s} = 5.370 \text{ GeV}, \quad \tau_{B_s} = 1.461 \text{ ps},$$

$$m_b = 4.8 \text{ GeV}, \quad V_{cb} = 0.0412,$$

$$M_{B_d} = 5.279 \text{ GeV}, \quad \tau_{B_d} = 1.542 \text{ ps},$$

$$m_c = 1.47 \text{ GeV}, \quad V_{cd} = 0.224,$$

$$M_{J/\psi} = 3.097 \text{ GeV}, \quad \lambda_B = 0.35 \text{ GeV}^{-15},$$

$$N_c = 3, \quad V_{cs} = 0.996,$$

衰变常数:  $f_{B_s} = 210 \text{ MeV}$ ,  $f_{B_d} = 180 \text{ MeV}$ ,  $f_{J/\psi} = 405 \text{ MeV}$ ; 在标度 $\mu = m_b$ 下的威尔逊系数:  $C_1 = 1.082$ ,  $C_2 = -0.185$ ,  $C_3 = 0.014$ ,  $C_4 = -0.035$ ,  $C_5 = 0.009$ ,  $C_6 = -0.041$ ,  $C_7 = -\frac{0.002}{137}$ ,  $C_8 = \frac{0.054}{137}$ ,  $C_9 = -\frac{1.292}{137}$ ,  $C_{10} = -\frac{0.263}{137}$ <sup>[22]</sup>; 并在下面的数据处理中用到近似  $V_{tb} V_{tq}^* \approx -V_{cb} V_{cq}^*$ .

用简单因子化方法得到的衰变分支比为

$$Br(\overline{B}_s^0 \rightarrow J/\psi \gamma) = 1.395 \times 10^{-6}, \quad (10)$$

$$Br(\overline{B}_d^0 \rightarrow J/\psi \gamma) = 5.398 \times 10^{-8}.$$

考虑 $\alpha_s$ 阶非因子化修正,取 $\Phi^{J/\psi}(u) = 6u(1-u)$ 时可以得到分支比为

$$Br(\overline{B}_s^0 \rightarrow J/\psi \gamma) = 5.795 \times 10^{-8}, \quad (11)$$

$$Br(\overline{B}_d^0 \rightarrow J/\psi \gamma) = 2.435 \times 10^{-9}.$$

因为波函数 $\Phi^{J/\psi}(u)$ 的形式是不知道的,值得考虑其他可能性. $\Phi^{J/\psi}(u) = \delta(u - \frac{1}{2})$ 是非相对论下的近似,曾被用在一些文献中<sup>[25]</sup>,用此波函数的

结果是

$$Br(\overline{B}_s^0 \rightarrow J/\psi \gamma) = 9.772 \times 10^{-8},$$

$$Br(\overline{B}_d^0 \rightarrow J/\psi \gamma) = 3.464 \times 10^{-9}. \quad (12)$$

可以看到,两个不同的 $J/\psi$ 波函数给出不同的数值结果.渐进形式的波函数 $\Phi^{J/\psi}(u) = 6u(1-u)$ 是一个相对论极限,这与 $\pi$ 介子波函数有类似的形式. $\delta$ 函数 $\Phi^{J/\psi}(u) = \delta(u - \frac{1}{2})$ 是非相对论极限下的形式.原则上,在不久将来 $J/\psi$ 波函数可通过QCD格点模拟得到.一旦波函数能被得到,本文的理论预言将被改善.我们期待在CERN的LHC和Super-B运行之前,这些理论预言能得到改善.

$B$ 介子衰变是由弱耦合和混合矩阵元支配,因此对新的相互作用非常敏感,特别是右手耦合<sup>[26]</sup>.在文献[27—29]中 $(V+A)$ 耦合已经被研究,研究表明在目前实验精度下,一个小的右手流是允许的.在辐射湮没衰变 $\overline{B}_{s,d}^0 \rightarrow J/\psi \gamma$ 中,考虑 $(V+A)$ 流 $g_R(\bar{q}_1 q_2)_{V+A}$ 与标准模型中 $(V-A)$ 流 $g_L(\bar{q}_1 q_2)_{V-A}$ 可能的混合效应,它可以作为探测新物理的一个信号.

假设 $(V+A)$ 流 $(b \rightarrow c)$ 和 $(c \rightarrow q)$ 与标准模型中 $(V-A)$ 流混合,辐射湮没衰变 $\overline{B}_{s,d}^0 \rightarrow J/\psi \gamma$ 的四费米子相互作用算符可写为

$$\begin{aligned} \mathcal{O}_1^c &= [(\bar{c}_\alpha b_\alpha)_{V-A} + \xi(\bar{c}_\alpha b_\alpha)_{V+A}] \otimes [(\bar{q}_\beta c_\beta)_{V-A} + \xi'(\bar{q}_\beta c_\beta)_{V+A}], \\ \mathcal{O}_2^c &= [(\bar{c}_\alpha b_\beta)_{V-A} + \xi(\bar{c}_\alpha b_\beta)_{V+A}] \otimes [(\bar{q}_\beta c_\alpha)_{V-A} + \xi'(\bar{q}_\beta c_\alpha)_{V+A}], \end{aligned} \quad (13)$$

其中 $\xi = g_R/g_L$ 和 $\xi' = g'_R/g'_L$ 分别是 $(b \rightarrow c)$ 流和 $(c \rightarrow q)$ 流的归一化耦合常数,这里忽略了 $C_i$  ( $i = 3, 4, \dots, 10$ )小项的贡献.

此时,辐射湮没衰变 $\overline{B}_q^0 \rightarrow J/\psi \gamma$ 的衰变振幅可写为

$$\begin{aligned} A(\overline{B}_q^0 \rightarrow J/\psi \gamma) &= \frac{G_F}{\sqrt{2}} V_{cb} V_{cq}^* \sqrt{4\pi\alpha_e} f_{J/\psi} M_{J/\psi} F_V \left\{ (1 + \xi') a_2 [ - (1 + \xi) \epsilon_{\mu\nu\alpha\beta} \eta_\mu^\nu \epsilon_\nu^\rho q^\sigma + i(1 - \xi)(\epsilon_\perp \cdot \eta_\perp)(v \cdot q) ] + (1 - \xi') \frac{\alpha_s C_F}{4\pi N_c} C_1 F [ (\xi - 1) \epsilon_{\mu\nu\alpha\beta} \eta_\mu^\nu \epsilon_\nu^\rho q^\sigma + i(1 + \xi)(\epsilon_\perp \cdot \eta_\perp)(v \cdot q) ] \right\}, \end{aligned} \quad (14)$$

分支比为

$$\begin{aligned} Br(\overline{B}_q^0 \rightarrow J/\psi \gamma) &= \frac{\tau_B |P_c|^2 G_F^2}{8\pi M_B^2} \frac{1}{2} |V_{cb} V_{cq}^*|^2 4\pi\alpha_e^2 f_{J/\psi}^2 M_{J/\psi}^2 \times \\ &F_V^2 4E_\gamma^2 \left\{ | (1 + \xi') a_2 + (1 - \xi') \times \right. \\ &\left. \frac{\alpha_s C_F}{4\pi N_c} C_1 F |^2 + \xi^2 | (1 + \xi') a_2 - (1 - \right. \end{aligned}$$

$$\xi') \frac{\alpha_s C_F}{4\pi N_c} C_1 F|^2\}, \quad (15)$$

因子  $\xi^2$  来自  $\xi(\bar{c}b)_{V+A}$ , 因为  $\xi$  是很小的常数, 下面的计算中忽略了  $\xi^2$  项.

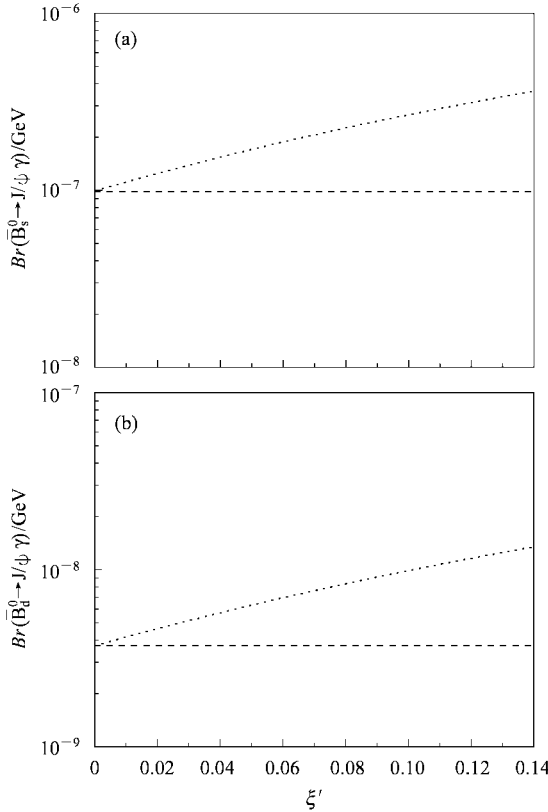


图 2  $Br(\bar{B}_{s,d}^0 \rightarrow J/\psi\gamma)$  随  $\xi' = g'_R/g'_L$  的变化  
虚线表示标准模型预测的结果, 点线是包括 (V + A)  
夸克流混合后的结果.

用波函数  $\Phi^{J/\psi}(u) = 6u(1-u)$ , 得到

$$Br(\bar{B}_s^0 \rightarrow J/\psi\gamma) = (0.19 + 2.21\xi' + 9.94\xi'^2) \times 5.23 \times 10^{-7}, \quad (16)$$

$$Br(\bar{B}_d^0 \rightarrow J/\psi\gamma) = (0.19 + 2.10\xi' + 10.06\xi'^2) \times 1.98 \times 10^{-8}. \quad (17)$$

可以看出, 衰变分支比对可能的右手流混合是非常敏感的. 相对于标准模型, 这些衰变被增强, 它与 (V + A) 流强度的关系如图 2 所示. 可以看出, 可能的右手流 ( $c \rightarrow q$ ) 混合将使分支比有较大的增加.

衰变  $\bar{B}_s^0 \rightarrow J/\psi\gamma$  可在将来的 Tevatron 和 LHC 上进行探测, 衰变  $\bar{B}_d^0 \rightarrow J/\psi\gamma$  能在 B 工厂 KEK 和 SLAC 上研究. 考虑到新物理, 它们的分支比增加, 可能在那些实验中被探测到.

综上所述, 运用 QCD 因子化方法, 研究了辐射湮没过程  $\bar{B}_{s,d}^0 \rightarrow J/\psi\gamma$ . 理论上, 因为在重夸克极限下  $J/\psi$  的横向扩展变得较小, 所以此过程能用因子化方法研究. 在 QCD 因子化方法下, 包含  $\alpha_s$  修正后得到分支比分别为  $Br(\bar{B}_s^0 \rightarrow J/\psi\gamma) = 5.795 \times 10^{-8}$  和  $Br(\bar{B}_d^0 \rightarrow J/\psi\gamma) = 2.435 \times 10^{-9}$ . 令人感兴趣的是这些衰变比非轻子两体 B 衰变包含有更简单的强子动力学. 实验上, 这些衰变对于研究  $J/\psi$  的产生机制非常有用, 同时也是研究令人感兴趣的过程  $\bar{B}_{s,d}^0 \rightarrow \mu^+ \mu^- \gamma$  衰变的背景. 另一方面, 这些衰变对新物理是敏感的, 作为一个例子, 我们研究了右手流混合的影响, 发现这些衰变对右手 ( $c \rightarrow s, d$ ) 流混合是敏感的, 而右手 ( $b \rightarrow c$ ) 流混合效应很小可被忽略. 这些衰变能在 LHC (CERN) 与 B 工厂 KEK 和 SLAC 上进行研究.

参考文献 (References)

- 1 Balest R et al (CLEO Collaboration). Phys. Rev., 1995, **D52**:2661; Chen S et al. Phys. Rev., 2001, **D63**:031102
- 2 Aubert B et al (BABAR Collaboration). Phys. Rev., 2003, **D67**:032002
- 3 Braaten E, Fleming S. Phys. Rev. Lett., 1995, **74**:3327
- 4 Beneke M, Maltoni F, Rothenstein I. Phys. Rev., 1999, **D59**:054003
- 5 Beneke M, Schuler G A, Wolf S. Phys. Rev., 2000, **D62**:034004
- 6 Palmer W, Paschos E, Soldan P. Phys. Rev., 1997, **D56**:5794
- 7 Ko P, Lee J, Song H S. Phys. Rev., 1996, **D53**:1005
- 8 Bodwin G T, Braaten E, Lepage G P. Phys. Rev., 1995, **D51**:1125
- 9 CHANG C H, HOU W S. Phys. Rev., 2001, **D64**:071501
- 10 Brodsky S J, Navarra F S. Phys. Lett., 1997, **B411**:152
- 11 Eilam G, Ladisa M, Yang Y D. Phys. Rev., 2002, **D65**:037504
- 12 CHENG H Y, Keum Y Y, YANG K C. Phys. Rev., 2002, **D65**:094023
- 13 Chay Junegone, Kim Chul. v2, hep-ph/0009244
- 14 Korchemsky G P, Pirjol D, YAN T M. Phys. Rev., 2000, **D61**:114510
- 15 Descotes-Genon S, Sachrajda C T. Nucl. Phys., 2003, **B650**:356
- 16 Lunghi E, Pirjol D, Wyler D. Nucl. Phys., 2003, **B649**:349
- 17 Ball P, Kou E. JHEP 0304, 2003, 029, hep-ph/0301135
- 18 Beneke M et al. Phys. Rev. Lett., 1999, **83**:1914, hep-ph/9905312; Nucl. Phys., 2000, **B591**:313
- 19 Beneke M et al. Nucl. Phys., 2001, **B606**:245
- 20 Muta T et al. Phys. Rev., 2000, **D62**:094020; YANG M Z, YANG Y D. Phys. Rev., 2000, **D62**:114019
- 21 DU D S, YANG D S, ZHU G H. Phys. Lett., 2000, **B488**:46;

- Phys. Rev., 2001, **D64**:014036
- 22 Buchalla G, Buras A J, Lautenbacher M E. Rev. Mod. Phys., 1996, **68**:1125
- 23 Hagiwara K et al. Phys. Rev., 2002, **D66**:010001
- 24 Grozin A G, Neubert M. Phys. Rev., 1997, **D55**:272
- 25 DU D S, LU G R, YANG Y D. Phys. Lett., 1996, **B380**:193
- 26 Gronau M. Talk at the Conference on B Factories: The State of the Art in Accelerators, Detectors and Physics. Hitlin D. Stanford, CA, April, 6—10, 1992.
- 27 DU D S, JIN H Y, YANG Y D. Phys. Lett., 1997, **B414**:130
- 28 Voloshin M B. Mod. Phys. Lett., 1997, **A12**:1823
- 29 Grossman Y, Nir Y, Worah M P. Phys. Lett., 1997, **B407**:307

## Analysis of the Annihilation Decay $\bar{B}_{s,d}^0 \rightarrow J/\psi \gamma$ with QCD Factorization \*

LU Gong-Ru WANG Ru-Min<sup>1)</sup> YANG Ya-Dong

(Department of Physics, Henan Normal University, Xinxiang 453007, China)

**Abstract** We study the radiative annihilation decay  $B_{s,d}^0 \rightarrow J/\psi \gamma$  in the framework of QCD factorization. We show that the non-factorizable radiative correction at the order  $\alpha_s$  changes the magnitude significantly in comparison with the leading-order result with the naive factorization in the Standard Model. Future measurements of these decays would be useful for testing the factorization framework. Rare radiative decays of B mesons received considerable theoretical attention due to their special sensitivity to physics beyond the Standard Model. As an example, we consider the effects of the admixture of right-hand charge currents to the standard left-hand current. This admixture will give a significant contribution to the decays.

**Key words** B decays, QCD factorization, branching ratios, new physics

Received 19 July 2004

\* Supported by National Science Foundation of China(10305003)and Henan Provincial Science Foundation for Prominent Young Scientists (0312001700)

1)E-mail: ruminwang@163.com